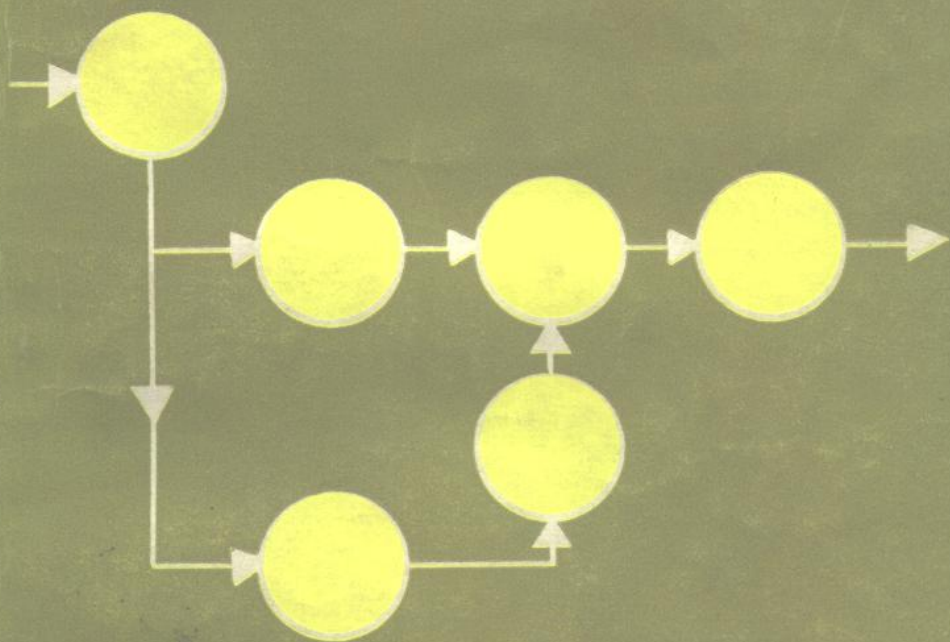


频率合成技术



张有正 陈尚勤 周正中 编著

人民邮电出版社

频率合成技术

张有正 陈尚勤 周正中 编著

人民邮电出版社

内 容 提 要

本书介绍频率合成技术，讨论了合成器的各种部件、锁相环及合成器系统。包括它们的基本原理、分析方法、电性能指标以及具体设计方法，特别是它们的相位噪声和杂散的大小的分析及其测量方法。

本书可供研制与设计频率合成器的工程技术人员使用，也可供高等院校师生参考。

频 率 合 成 技 术

张有正 陈尚勤 周正中 编著

责任编辑：俞天林

人 民 邮 电 出 版 社 出 版

北京东长安街27号

河北省邮电印刷厂印刷

新华书店北京发行所发行

各地新华书店经售

开本：850×1168 1/32 1984年8月 第 一 版
印张：21 24/32 页数：348 1984年8月河北第一次印刷
字数：578千字 插页：1 印数：1—6,500册

统一书号：15045·总2856—无6275

定价：3.35元

序 言

在现代电子学的各个领域里，常常离不开一个高精度的、频率可变的信号源并且要求由数字信号来控制，这就是数字式频率合成器。频率合成虽不是一项新技术，但是近年来它的发展十分迅速，合成器性能不断提高，应用日益广泛，它不仅完全占领了传统上需要使用信号源的各个方面，而且开拓了很多新的领域。

本书主要讨论合成器的各种部件、锁相环及合成器系统，从基本原理、分析方法、电性能指标一直到它们的具体设计，并且特别注意到它们的相位噪声和杂散的大小及其测量技术。

本书中部分内容，是笔者多年来从事这方面工作的小结。有些内容在国内外资料中还未见过；或者比较零碎，不便加以利用。其中特别值得指出的是以下一些内容：

1. 双D鉴相器

这是一种新颖而优异的鉴相器，我们阐述了它的工作原理、性能和设计方法，以及采用这种鉴相器的环路的捕捉问题（5.2.3、11.1、11.2.3节）

2. 分频器

讨论了程序分频器的工作原理和提高分频器速率的若干方法，特别着重分析了应用吞脉冲技术的程序分频器的工作原理、逻辑设计以及将它们应用于多环合成器时的设计方法。最后还分析了分频器产生新增相位噪声和新增相位杂散的机理，给出了二者的解析表达式，并把它们应用于合成器的系统设计（见6、7章及12.2.1、12.2.2节）。

3. 相位噪声的定义和测量

在通信、雷达等设备飞速发展的情况下，人们对频率合成器（或其它频率源）的相噪（相位噪声，下同）指标提出了更高的要求。因此，定义（频域和时域）相噪和掌握其各种测量方法，对于设计制造高质量的合成器已经成了必备的知识。这些内容多散见于有关文献和资料中，缺乏系统的论述。有鉴于此，本书结合试制合成器用的相噪测试设备，进行了实际测量和理论分析，只用了不多的篇幅，而对上述各个方面，作了系统而扼要的介绍，并提供了一些实用的测试方案和电路（见8、9、10章）。

4. 锁相环

我们把鉴相器分为常规型及鉴频型两大类，利用统一的方法分析了采用各种鉴相器的环路捕捉、稳定性等问题及其设计方法，得出了一系列有用的公式（见11章）。

5. 合成器的新增相噪

这是合成器的关键电性能指标。我们分析了合成器各种部件的新增相噪，对整个合成器提出了：（1）噪声灵敏度（12.2.2节），（2）衡量分频器新增相噪相对值的 R_D （12.2.3节）（3）传输路径时差对相噪的影响（12.2.3节），（4）振动相噪（12.2.5节）等，并用来对合成器的新增相噪进行了全面的分析（见12章）。

本书适于从事合成器研制、设计的工程技术人员以及高等院校师生用作参考书。阅读本书所要求的预备知识，包括随机信号、电子电路、逻辑电路、微积分等，都属于大专院校电工类专业教材的范围。

本书的第1~5、11、12各章是张有正写的，第6、7章是周正中写的，第8~10章是陈尚勤写的。本书一至五章及十一、十二章各章由陈杰美同志细心审改；还有部分内容由刘后铭、袁家樾、钟

福元同志审阅，并提供了许多宝贵的修改意见，笔者表示感谢。
笔者水平有限，书中不妥之处欢迎读者批评指正。

作者

一九八二年十月八日

常用符号表

- C 电容的一般表示，在不同场合，再加下角标来区分。
- C_0 隔直或旁路电容。
- C_1 变容管的电容。
- $F(p)$ 用以形成二阶环路的低通滤波器的传输函数， $F(p) = K_f \frac{p + \omega_a}{p + \omega_b}$ 或 $K_f (1 + \frac{\omega_a}{p})$ 。
- $F_L(p)$ 环路中，除 $F(p)$ 外的低通滤波器的传输函数。
- f 付氏频率的一般表示，在不同场合，再加下角标来区分，又 $f = \frac{\omega}{2\pi}$ 。
- f_n 环路的自然频率。
- f_{co} 环路的截止频率。
- $F_{A0小}$ 放大器的小信号白噪声系数。
- F_{A0} 放大器的白相位噪声系数。
- $H_e(p)$ 环路的实际误差传输函数。
- $H_s(p)$ 标准二阶（或一阶）环路的误差传输函数。
- $I_{\sim 1}$ 、 $I_{\sim 2}$ 电流鉴相器输出纹波电流中的基波及二次谐波。
- I_{C1} 、 I_{Cn} 晶体管集电极电流中的基波及 n 次谐波。
- I_{B1} 、 I_{Bn} 晶体管基极电流中的基波成分及 n 次谐波成分。
- I_{E1} 、 I_E 晶体管发射极电流中的基波及 n 次谐波成分。
- I_E 、 I_C 、 I_B 发射极、集电极、基极电流中的直流成分。
- $I_0(x)$ 、 $I_1(x)$ 、 $I_n(x)$ 修正的零阶、一阶、 n 阶贝塞耳函数。
- $i_{\phi r}(t)$ 电流鉴相器输出的鉴相电流（不包括纹波）
- $i_{\phi} r(t)$ 电流鉴相器输出的鉴相电流（包括纹波）
- I_P $i_{\phi r}(t)$ 的峰值
- I_{ϕ} $i_{\phi r}(t)$ 中，最大值与中心值之差

K_v 电压鉴相器的鉴相增益, 单位: 伏/弧度。

$K_{\phi i}$ 电流鉴相器的鉴相增益, 单位: 毫安/弧度。

K_f $F(p)$ 的常数因子, 即 $K_f = F(\infty)$ 。用电压鉴相器时, 无量纲; 用电流鉴相器时, 单位为欧。

K_{VCO} VCO 的压控增益, 单位: 弧度/秒、伏。

K $K = \frac{1}{N} K_{\phi} K_f K_{VCO}$ 或 $\frac{1}{N} K_{\phi i} K_f K_{VCO}$ 。对二阶环, $K = 2\xi\omega_n$, K 也用以代表其它常数。

K' $K' = \frac{1}{N} V_{\phi} K_f K_{VCO}$ 或 $\frac{1}{N} I_{\phi} K_f K_{VCO}$ 。

L 电感的一般表示。

L_n 高频扼流圈。

Q 品质因子的一般表示。

Q_1, Q_L 空载及有载品质因子。

Q_i 变容管的品质因子。

r_e 晶体管发射极的动态电阻, $r_e = \frac{V_T}{I_B}$ 。

r_T 振荡回路中的损耗总电阻。

r_R $r_R = \frac{\mu_R}{2\xi\omega_n}$, 与环路稳定性设计有关的一个参数。

r_s $r_s = \frac{|\Delta\mu'_R \max|}{\omega_n}$ 环路捕捉的相对范围。

R_s 信号源内电阻。

R_i 放大器的负反馈电阻。

R_{in} 放大器的输入电阻。

R_D 代表分频器触发噪声相对影响的一个量。

R_T 构成放大器白色相噪的总电阻。

$S(f)$ 噪声功率谱密度的一般表示。

$S_{\phi}(f)$ 相位噪声的功率谱密度, 单位: 弧度²/赫。

$S_v(f)$ 电压噪声的功率谱密度, 单位: 伏²/赫。

$S_{\phi A}(f)$ 放大器相位噪声的功率谱密度。

$S_{\phi C}(f)$ 混频器相位噪声的功率谱密度。

$S_f(f)$ 频率噪声的功率谱密度。

$S_{\sigma T}(f)$ 分频器第一种新增相噪的功率谱密度。

$S_{\sigma T2}(f)$ 分频器第二种新增相噪的功率谱密度。

$S_{\sigma L}(f)$ 锁相环的低通型相噪。

$S_{\sigma H}(f)$ 锁相环的高通型相噪。

$T_r(p)$ 环路的实际开环传输函数。

$T(p)$ 标准二阶（或一阶）环路的开环传输函数。

T_R 进入鉴相器信号的周期，即 $T_R = \frac{2\pi}{\mu_R}$ 。

T_d 信号传输的时延。

$T_{c\phi}$ 环路的相位捕捉时间。

T_{cf} 环路的频率捕捉时间。

T_C 环路的捕捉总时间， $T_C = T_{cf} + T_{c\phi}$ 。

T_b 鉴相器输出的差拍信号周期。

V_s 信号源的开路电势。

$V_{干}$ 正弦形电压干扰的峰值。

V_{ϕ} $v_{\phi r}(t)$ 中，最大值与中心值之差。

$V_{\phi中}$ $v_{\phi r}(t)$ 的中心值。

V_c $v_{\phi r}(t)$ 的直流成分。

V_{CO} 放大器的临界电压。

V_T 晶体管的特征电压，室温时， $V_T \approx 26$ 毫伏。

V_i 晶体管的门阈电压， $V_i \approx 0.7$ 伏（硅管）；0.2 伏（锗管）。

$V_{组}$ 混频器的组合干扰，正弦形的峰值。

V_c $v_{cr}(t)$ 中的直流成分。

$v_c(t)$ $v_{cr}(t)$ 中的增量成分。

$v_{cr}(t)$ 电压鉴相器输出的电压，不包括纹波。

$v_{cr}(t)$ VCO 的实际控制电压。

x 有二种可能：（1）当 $R_c = 0$ 时，放大器驱动电压的相对值；

（2）合成器中的某一点到合成器出端的倍频比。

x_i 当 $R_c \neq 0$ 时，放大器驱动信号的相对值。

ξ 环路的阻尼系数。

$\theta_{余}$ 环路的相位余度。

μ 正弦信号载波角频率的一般表示, 又 $\mu = 2\pi\nu$ 。

μ_R 进入鉴相器信号的角频率。

$\Delta\mu_C$ 环路的捕捉范围。

$\Delta\mu_A$ 环路的锁定范围。

$\Delta\mu$ 代表一段角频率范围, 经常用以表示VCO的角频率覆盖。

$\Delta\mu_R$ $\Delta\mu_R = \mu_R - \frac{\mu_{中}}{N}$, $\mu_{中}$ 为VCO的中心角频率。

$\Delta\mu'_R$ $\Delta\mu'_R = \mu_R - \frac{\mu_{初}}{N}$, $\mu_{初}$ 当环路捕捉开始时, VCO的输出角频率。

$|\Delta\mu'_{Rmax}|$ $|\Delta\mu'_R|$ 的最大值。

$\Delta\mu'_{快}$ 环路的快捕带。

ν 正弦信号载波频率的一般表示, 又 $\nu = \frac{\mu}{2\pi}$ 。

$\sigma_{分}$ 分频器的触发抖动。

$\varphi(t)$ 相位函数的一般表示, 单位: 弧度。

$\varphi_r(t)$ 实际相位函数的一般表示。

$\varphi_n(t)$ 随机相位信号。

φ_s 相位杂散的正弦形峰值, 单位: 弧度。

φ_{sin} 折算至鉴相器入端的, 由鉴相纹波所引起的相位杂散。

$\varphi_{e,r}(t)$ 实际的相位误差信号。

$\varphi_o(t)$ 输出信号中的相位的增量成分。

$\phi(p)$ $\varphi(t)$ 的拉氏变换。

ω 付氏角频率的一般表示, $\omega = 2\pi f$ 。

ω_n 环路的自然角频率。

ω_{CO} 环路的截止角频率。

ω_c $F_L(p)$ 为一阶时的半功率角频率带宽。

$\omega'_{0.7}$ $F_L(p)$ 为n阶时的半功率角频率带宽。

ω_{e1}, ω_{e2} $F(p)$ 的二个转折点角频率。

目 录

第一章 频率合成概述	(1)
1.1 频率合成器与信号源	(1)
1.2 频率合成的基本原理	(2)
1.2.1 十(百、千)进制组件	(5)
1.2.2 合成器的总体方框图	(11)
第二章 频率合成器的相位噪声和杂散	(19)
2.1 随机信号的一些主要性质	(20)
2.1.1 平稳随机过程及埃尔哥德随机过程	(20)
2.1.2 随机信号的一些主要统计量	(25)
2.1.3 随机信号通过线性系统	(28)
2.1.4 随机信号统计量的测量	(30)
2.2 相位噪声和杂散	(31)
2.2.1 相位噪声和杂散所产生的边带噪声	(31)
2.2.2 $\varphi_n(t)$ 的加、减、乘、除	(33)
2.2.3 $\varphi_n(t)$ 通过线性系统	(37)
第三章 线性化锁相环的基本原理	(41)
3.1 锁相环的主要部件	(41)
3.1.1 鉴相器 ϕ	(42)
3.1.2 线性系统和准线性系统	(45)
3.1.3 压控振荡器	(46)
3.1.4 环路中的低通滤波器	(47)
3.2 一阶锁相环	(54)
3.3 二阶锁相环	(57)
3.3.1 高增益二阶锁相环	(58)
3.3.2 低增益二阶锁相环	(62)
3.4 带通滤波器的相位传输函数	(61)

3.4.1	信号通过对称带通滤波器	(64)
3.4.2	信号通过宽带带通滤波器	(69)
3.5	锁相环的实际传输函数,内部噪声和环路参数的选择 (71)	
3.5.1	锁相环的实际传输函数	(71)
3.5.2	环路中的各种噪声源	(75)
3.5.3	环路参数的选择	(79)
第四章	缓冲放大器及压控振荡器	(86)
4.1	缓冲放大器	(86)
4.1.1	放大器的基本原理及设计	(86)
4.1.2	放大器的新增杂散	(117)
4.1.3	放大器的相位噪声	(124)
4.2	LC压控振荡器.....	(132)
4.2.1	振荡器的基本原理及设计	(133)
4.2.2	变容管及VCO的压控非线性	(142)
4.2.3	VCO的设计举例	(146)
4.2.4	设计低噪声VCO的几个实际问题	(153)
4.2.5	Q_L 的测量	(161)
4.3	晶体压控振荡器	(162)
4.3.1	晶体的参数	(162)
4.3.2	VCXO的振荡回路	(164)
4.3.3	VCXO的实际电路	(169)
第五章	倍频器与鉴相器	(182)
5.1	倍频器.....	(182)
5.1.1	单管式倍频器	(183)
5.1.2	差分式倍频器	(184)
5.1.3	倍频器的新增杂散和相位噪声	(184)
5.1.4	倍频比可以为偶数的差分倍频器	(185)
5.2	鉴相器.....	(189)
5.2.1	鉴相器的电性能	(189)
5.2.2	取样保持式鉴相器	(191)

5.2.3	双D型鉴相器	(203)
5.2.4	差分式鉴相器	(216)
5.2.5	二极管环形鉴相器	(219)
第六章 数字电路与固定分频器		(226)
6.1	基本的数字单元电路	(216)
6.1.1	门电路	(216)
6.1.2	触发器	(232)
6.2	固定除十分频器	(247)
6.2.1	非同步脉冲型8421码十分频器	(248)
6.2.2	同步型8421码十分频器	(250)
6.2.3	混合型8421码十分频器	(251)
6.2.4	扭环除十分频器	(253)
6.3	中规模集成电路除十分频器	(257)
6.3.1	中规模除十分频器T210	(257)
6.3.2	中规模加法型8421码十分频器(T217功能之一)	(260)
6.3.3	中规模减法型8421码十分频器(T217功能之二)	(264)
6.4	中规模集成电路可变进制分频器	(267)
第七章 程序分频器		(270)
7.1	分频器的主要技术指标	(271)
7.2	程序分频器的分类	(273)
7.3	分频比可变的十分频器	(277)
7.3.1	脉冲型8421码可变十分频器	(278)
7.3.2	TTL8421码可变十分频器	(283)
7.3.3	TTL中规模可变十分频器	(287)
7.3.4	TTL扭环可变十分频器	(294)
7.4	基本程序分频器的工作原理	(297)
7.4.1	十读出法程序分频器工作原理	(298)
7.4.2	九读出法程序分频器工作原理	(302)
7.4.3	任意数读出	(306)
7.4.4	加减“中频”原理	(306)

7.5	提高程序分频器速度的若干方法	(310)
7.5.1	分频器速度的理论分析	(310)
7.5.2	提前预置法	(312)
7.5.3	辅助计数法	(320)
7.5.4	讨论	(327)
7.6	脉冲吞除技术	(328)
7.6.1	脉冲吞除原理	(328)
7.6.2	前置分频器	(332)
7.6.3	11/10电路的几种编码方式及其电路实现	(335)
7.6.4	ECL中规模前置分频器E12012	(350)
7.6.5	吞脉冲程序分频器的系统设计	(353)
7.6.6	11/10电路的逻辑设计	(370)
7.6.7	脉冲二次吞除技术	(377)
7.7	分频器的新增相位杂散和新增相位噪声	(386)
7.7.1	整形——分频器输出信号的相位时间特性	(386)
7.7.2	分频器的新增相位杂散	(389)
7.7.3	分频器的新增相位噪声	(392)
7.7.4	分频器的新增相位噪声之二——触发噪声	(395)
7.7.5	分频器的相位噪声模型	(397)
7.7.6	降低分频器相位噪声的方法	(399)
第八章 通信机中频率合成器短稳的频域表征量指标及其		
	测试方法	(402)
8.1	概述	(402)
8.2	各类通信系统频率合成器频域短稳指标的讨论	(404)
8.2.1	模拟通信系统的短稳指标	(405)
8.2.2	数字通信系统的短稳指标	(413)
8.3	用鉴相法测试频率合成器相位噪声的原理和方法	(414)
8.4	锁相环型的相噪测试设备	(428)
8.4.1	$f > 300\text{Hz}$ 时的 $S\varphi(f)$ 测试设备	(428)
8.4.2	优质短稳振荡源的相噪测试设备	(434)
8.4.3	$f < 300\text{Hz}$ 时的 $S\varphi(f)$ 测试设备	(440)

8.5	用接收机法测试带外相噪的设备	(445)
8.6	用频谱图仪器测试相位噪声的原理和设备	(450)
8.7	用鉴频法测量 $S_{\phi}(f)$ 或 $S_{\psi}(f)$ 的原理和设备	(454)
8.8	频率合成器式频率源中各部件新增噪声的测量	(463)
附录 1	LC或晶体振荡器等频率源 $S_{\phi}(f)$ f 曲线的一般表示形式	(470)
附录 2	波形分析仪中检波器属于线性检波时, $S_{\phi}(f)$ 测试读数的修正	(474)

第九章 通信机频率源短稳时域表征量的物理意义及其测

试方法

9.1	通信机频率源短稳时域表征量的物理意义和定义 ...	(477)
9.2	$\sigma_p^2(\tau)$ 的测试方法及其测试设备	(485)
9.2.1	测试方法和测试方框图	(485)
9.2.2	测试界限的分析	(488)
9.2.3	测试设备的电路分析	(491)
9.3	数字通信系统频率源的短稳指标要求	(493)
9.3.1	终端采用“数字移频”的通信制	(493)
9.3.2	终端采用“数字移相”的通信制	(497)

第十章 频率源短稳的频、时域表征量间的联系和转换

10.1	从频域表征量折算成时域表征量	(500)
10.1.1	折算的基本思想和结论	(500)
10.1.2	频、时域表征量联系公式的应用及其物理概念	(503)
10.2	从 $\sigma_p^2(\tau)$ - τ 折换成 $S_{\phi}(f)$ - f	(505)
10.2.1	转换的思路和方法	(505)
10.2.2	$\sigma_p^2(\tau)$ 、 $S_{\psi}(f)$ 、 $S_{\phi}(f)$ 表征量间相互转换知识的应用	(508)
10.3	各型 $\sigma^2(N, T, \tau)$ 值间的互换	(509)
10.4	频率源的杂散对相噪时域测试的影响	(516)
10.5	通过求修正哈达马方差 $\sigma^2_{MH}(\tau)$ 来计算 $S_{\phi}(f)$ 的方法	(518)

10.5.1	根据取样处理步骤术相应的 $H(f)$ 的通用方法	(519)
10.5.2	取样处理步骤的选择	(522)
10.5.3	用求 $\sigma^2_{MH}(z)$ 的方法作成的 $S_{\phi}(f)$ 测试设备	(524)
附录	频、时域表征量联系公式的证明	(526)
第十一章	锁相环的捕捉、稳定性、测试及设计	(531)
11.1	锁相环的捕捉	(531)
11.1.1	一阶锁相环	(531)
11.1.2	二阶锁相环	(538)
11.1.3	环路捕捉的辅助设备及VCO频率覆盖的划分	(570)
11.2	环路的稳定性、测量及设计	(584)
11.2.1	环路稳定性的分析	(584)
11.2.2	环路传输函数的测量	(590)
11.2.3	环路的设计	(598)
第十二章	合成器的系统设计	(614)
12.1	合成器中的混频器	(615)
12.1.1	混频频率 ν_H 、 ν_L 的选择	(615)
12.1.2	混频信号的振幅	(619)
12.1.3	环形混频器	(621)
12.1.4	差分混频器	(630)
12.2	合成器的系统设计以及一些有关的基本概念	(634)
12.2.1	各种部件的相噪和杂散	(634)
12.2.2	间接式合成器的系统设计、部件的噪声灵敏度及哼声杂散	(642)
12.2.3	传输路径时差对相噪的影响	(656)
12.2.4	直接式合成器的相噪和杂散	(662)
12.2.5	合成器的振动相噪	(668)
12.3	合成器的一些方案	(671)
12.3.1	直接式与间接式合成器	(671)
12.3.2	单环合成器	(671)
12.3.3	输出频率覆盖很宽的间接式合成器	(672)
12.3.4	微波间接式合成器	(675)

第一章 频率合成概述

频率合成技术就是对高度稳定的频率进行加、减、乘、除的基本运算，以产生一系列离散频率的技术。高稳频率一般由晶体振荡器（或称主晶振）获得。所产生的离散频率与主晶振频率成严格的正比关系。产生这些离散频率的设备称为频率合成器。合成器的输出频率 ν_0 可表示为

$$\nu_0 = \frac{p}{q} \nu_i \quad (1.1)$$

式中， ν_i 是主晶振频率； q 是固定的正整数； p 是可变的正整数，其最小步进量为1。由于 ν_0 与 ν_i 成正比，故 ν_0 的相对准确度和相对长期稳定度均与 ν_i 相同。

1.1 频率合成器与信号源

频率合成器是一种正弦信号源，和常规的振荡式正弦信号源相比较，它具有如下突出优点：

1. 高的频率长期稳定度

频率长期稳定度可以用 $\frac{\Delta\nu}{\nu_0}$ 的大小来表征。其中， ν_0 为输出信号的频率； $\Delta\nu$ 为规定时间内，输出信号频率漂移的累计量。若合成器采用恒温控制的高稳晶体振荡器作主晶振，则其 $\frac{\Delta\nu}{\nu_0}$ 可达 $10^{-10} \sim 10^{-8}$ /天；而振荡式信号源的频率稳定度，一般只能达到 $10^{-3} \sim 10^{-5}$ /15分钟。